

پنهان سازی داده در سیگنال صحبت فشرده شده با آشکار سازی کور

رضا صالح، حسین خوشبین قماش

دانشگاه فردوسی مشهد - دانشکده مهندسی - گروه برق

Khoshbin@ferdowsi.um.ac.ir

Reza_saleh59@yahoo.com

روش ابتدا اطلاعات به داده های دیگر نگاشت داده شده و سپس ارسال می گردد. گیرنده مجاز با داشتن الگوریتم رمزگشایی و کلید مربوطه، داده ها را به شکل اصلی بر می گرداند. به دلیل تصادفی بودن داده های رمز شده دشمن می تواند با پی بردن به اهمیت آن درصدد کشف رمز و تخریب آن بر آید که این یکی از مشکلات عمده این روش است. برای رفع این مشکل می توان داده مورد نظر را در سیگنالی دیگر (سیگنال میزبان) مانند تصویر، صوت و یا صحبت پنهان نمود. این عمل باید به گونه ای صورت پذیرد که تغییر قابل توجهی در سیگنال میزبان ایجاد نکند. با توجه به گستردگی استفاده از سیگنال صحبت در کاربردهایی از قبیل تلفن، موبایل و بی سیم می توان از این بستر مناسب و در دسترس برای انتقال داده های اضافی استفاده کرد. از آنجایی که در اغلب کاربردها عملیات فشرده سازی بر روی سیگنال صحبت انجام می شود، الگوریتم پنهان سازی داده باید در مقابل فشرده سازی مقاومت خوبی داشته باشد.

اغلب کارهایی که تاکنون انجام شده است بر روی سیگنال های تصویر و صوت بوده است و کار زیادی بر روی صحبت، بویژه با در نظر گرفتن اثر فشرده سازی صورت نگرفته است [۱]. در تحقیقی که در مقاله [۲] انجام شده است، اطلاعات

کلید کلیدی - پنهان سازی داده، فشرده سازی، تکنیک طیف گسترده، کیفیت شنیداری و آشکار سازی کور

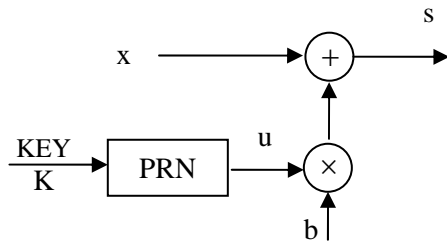
چکیده- در این مقاله روشی برای پنهان سازی داده در سیگنال صحبت که عملیات فشرده سازی شکل موجی^۱ بر روی آن صورت گرفته و به صورت کور آشکار سازی^۲ می شود، ارائه شده است. ویژگی مهمی که این روش دارد آن است که گیرنده برای آشکار سازی به سیگنال اصلی نیازی ندارد، بنابراین سیگنال صحبت به یک عبارت خاص مقید نبوده و می تواند تغییر کند. نتایج نشان می دهد که در این روش با حفظ کیفیت شنیداری^۳، نرخ خطا حتی در نسبت سیگنال به نویز های پایین حداقل می شود.

۱- مقدمه

یکی از شیوه های متداول برای جلوگیری از دسترسی افراد غیر مجاز به اطلاعات خاص، رمزنگاری می باشد. در این

1 - Waveform compression
2 - Blind detection
3 - Perceptual quality

باشد و حتی در برخی از پردازش ها از قبیل فشرده سازی برای کاهش نرخ بیت ممکن است حذف گردیده و در طرف مقابل فقط از یک سیگنال شبه سکوت استفاده



شکل ۲: مدل کلی سیستم طیف گسترده.

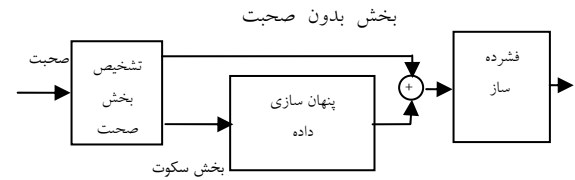
شود [۳]. به همین دلیل بخش سکوت باید تشخیص داده شده و اطلاعات مورد نظر فقط در بخش صحبت دار سیگنال قرار گیرد. برای تشخیص یک فریم N نمونه‌ای سکوت، می‌توان - از معیار میانگین قدر مطلق اندازه نمونه‌های فریم استفاده نمود. اگر این معیار از یک حد آستانه (T) بیشتر باشد فریم به عنوان فریم صحبت تشخیص داده می‌شود.

$$\left[\frac{1}{N} \sum_{i=1}^N |s_i| \right] > T \quad (1)$$

در رابطه (۱)، s_i نمونه‌های فریم مورد نظر و T حد آستانه‌ای است که به صورت تجربی تعیین می‌شود.

برای پنهان سازی داده، از تکنیک طیف گسترده^۴ در حوزه فرکانس استفاده شده است. در روش طیف گسترده داده‌هایی که می‌خواهیم پنهان شود، بر روی حجم زیادی از سیگنال گسترده می‌شود. این کار را می‌توان بر روی نمونه‌های زمانی [۴]، و یا فرکانسی [۵] اجرا نمود. داده‌ها به گونه‌ای روی پارامتر مورد نظر گسترده می‌شوند که تغییر ایجاد شده توسط گوش قابل درک نباشد. مدل کلی مربوط به سیستم طیف گسترده در شکل (۲) مشاهده می‌شود. x سیگنال میزبان با مقادیر -1 یا $+1$ ، b رشته داده‌ای با عناصر -1 یا $+1$ است و s

باینری در سیگنال صحبتی که فرستنده و گیرنده از آن مطلع هستند، پنهان گردیده و با استفاده از یک روش خاص



شکل ۱: بلوک دیاگرام بخش پنهان سازی داده در سیگنال صحبت.

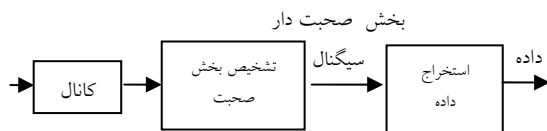
آشکار سازی، در حضور عملیات فشرده سازی به کیفیت شنیداری و مقاومت خوب دست یافته اند. در این مقاله نیز یک روش برای پنهان سازی داده در سیگنال صحبت که عملیات فشرده سازی بر روی انجام می‌شود، ارائه گردیده است با این تفاوت که پنهان سازی در حوزه فرکانس صورت گرفته و برای آشکار سازی احتیاجی به سیگنال اصلی صحبت (سیگنال صحبت قبل از پنهان سازی داده) در گیرنده وجود ندارد و به عبارت دیگر آشکار سازی به صورت کور انجام می‌شود. به کمک این ویژگی فرستنده می‌تواند هر عبارت دلخواهی را ارسال کند و به یک نمونه از پیش تعیین شده، محدود نگردد. کدکننده‌ای که در این روش برای فشرده سازی مورد استفاده قرار گرفته است، کدکننده G.723 از نوع کدرهای شکل موجی [۳] می‌باشد.

۲- پنهان سازی داده در سیگنال صحبت

شکل (۱) بلوک دیاگرام سیستم پنهان سازی داده در سیگنال صحبت را نشان می‌دهد. ابتدا بخش صحبت را از پنهان سازی داده، بخش‌های صحبت و سکوت به یکدیگر افزوده شده و عملیات فشرده سازی بر روی آنها انجام می‌گردد و از طریق کانال برای گیرنده ارسال می‌شود. در گیرنده بعد از انجام فرآیند عکس فشرده سازی، سیگنال صحبت بازیابی شده و بعد از جدا کردن بخش‌های سکوت، داده‌ها از روی باقی مانده سیگنال صحبت، استخراج می‌گردد.

یک سیگنال گفتار هم شامل بخش صحبت و هم بخش سکوت است، که بخش سکوت دارای اهمیت چندانی نمی

میانگین گیری نمودار شکل (۳) حاصل گردید. همانطور که مشاهده می شود ضرایب پایین نسبت به ضرایب بالا دارای اعوجاج کمتری در مقابل فشرده سازی هستند. به همین دلیل ضرایب ۵ تا ۵۴ (و با توجه به تقارن، ضرایب ۲۰۴ تا ۲۵۳) برای پنهان سازی داده انتخاب گردیدند. برای پنهان سازی دو رشته چیب تصادفی $u1$ و $u2$ (قرینه



شکل ۴: بلوک دیاگرام مربوط به بخش استخراج داده.

یکدیگر هستند) به طول ۵۰ نمونه که فرستنده و گیرنده از آن مطلع هستند انتخاب شدند. برحسب اینکه داده مورد نظر ۱- یا ۱+ (و یا ۰ یا ۱) باشد، یکی از این دو رشته چیب به عنوان رشته u انتخاب می شود. اگر F_i نمایش اندازه تبدیل DFT باشد، این پارامتر به صورت رابطه (۳) تغییر می کند.

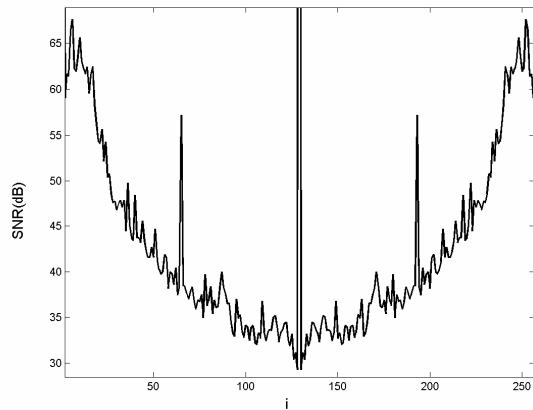
$$F_i \leftarrow [F_i(1 + \alpha \times u_{i-4})] \quad i = 5, \dots, 54 \quad (3)$$

پارامتر α در رابطه (۳) بر روی وضوح شنیداری و خطا تاثیر می گذارد که باید به طور مناسبی انتخاب شود. پس از پنهان سازی داده در حوزه فرکانس با گرفتن عکس DFT سیگنال حوزه زمانی بازیابی می گردد. در مرحله بعد فریم های سکوت به فریم های صحبت افزوده شده و پس از فشرده سازی توسط کدکننده G.723 از طریق کانال برای گیرنده ارسال می شود.

۳- استخراج داده

بلوک دیاگرام مربوط به بخش استخراج داده در شکل (۴) مشاهده می شود. بعد از انجام عکس فشرده سازی، فریم های صحبت از فریم های سکوت جدا می شوند و از بخش صحبت داده ها استخراج می گردند. با توجه به رابطه (۲)، استخراج بیت پنهان شده به کمک علامت پارامتر r که به صورت رابطه (۴) معرفی می شود، صورت می گیرد.

سیگنال خروجی می باشد. PRNG به کمک کلید مخفی K ، رشته چیب u با میانگین صفر و واریانس σ_u^2 را تولید می کند که گیرنده و فرستنده از این کلید مطلع هستند. سیگنال خروجی به



شکل ۳: نمودار نسبت سیگنال به نویز ضرایب DFT در عبور از کانال فشرده ساز.

صورت رابطه (۲) تولید می شود.

$$s = x + bu \quad (2)$$

همانطور که می دانیم فشرده سازی باعث ایجاد اعوجاج در سیگنال می گردد. با توجه به یک سری از آزمایش ها مشخص شده است که میزان اعوجاج نمونه های حوزه فرکانسی نسبت به نمونه های حوزه زمانی در مقابل فشرده سازی کمتر است [۶]. بنابراین در این طرح داده های مورد نظر را بر روی ضرایب DFT^۶ پخش کرده ایم. البته میزان این اعوجاج برای هر یک از ضرایب متفاوت است. برای تعیین اینکه کدامیک از این ضرایب دارای مقاومت بیشتری است از ۱۳ نفر خواسته شد که برای چند دقیقه صحبت کنند. در مرحله بعد هر یک از این سیگنال ها فریم بندی شده و از آنها تبدیل DFT، ۲۵۶ نقطه ای گرفته شده و نسبت سیگنال به نویز ضرایب DFT این فریم ها قبل و بعد از فشرده سازی محاسبه گردید و بعد از

5 - Pseudo random noise generator
6 - Discrete Fourier transform

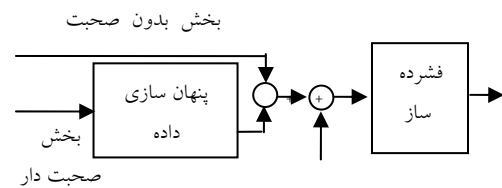
بررسی قرار می گیرد.

$$r = \frac{\langle s, u \rangle}{\langle u, u \rangle} = \frac{\langle x + bu, u \rangle}{\delta_u} = b + c_x \quad (4)$$

$$c_x = \frac{\langle x, u \rangle}{\delta_u} \quad (5)$$

در این صورت \hat{b} ، بیت استخراج شده به صورت رابطه (۶) تخمین زده می شود.

$$\hat{b} = \text{sign}(r) \quad (6)$$



شکل ۵: افزایش نویز سفید گوسی به سیگنال صحبت.

بعد از فریم بندی بخش صحبت، از هر یک از فریم ها تبدیل DFT گرفته و اندازه ضرایب ۵ تا ۵۴ را در اولین رشته چپ u_1 ، ضرب کرده و حاصل جمع می گیریم، اگر حاصل (lim) عددی مثبت باشد، بیت به عنوان +۱ و در غیر اینصورت به عنوان -۱ آشکار سازی می شود.

$$\text{lim} = \sum_{i=5}^{54} [F_i \times u_{i-4}] \quad (7)$$

$$\hat{b} = \begin{cases} +1 & \text{lim} > 0 \\ -1 & \text{lim} < 0 \end{cases} \quad (8)$$

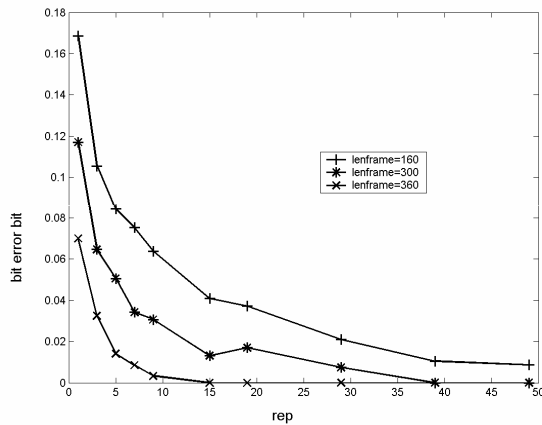
که \hat{b} در رابطه (۸) بیت استخراج شده می باشد.

۴- افزایش نویز سفید گوسی

برای بررسی اثر نویز بر عملکرد سیستم مطابق شکل (۵)، نویز سفید گوسی به سیگنال صحبت افزوده می شود. همانطور که مشاهده می شود، افزایش نویز بعد از پنهان سازی داده و قبل از فشرده سازی صورت می گیرد. برای این منظور نویز با نسبت های مختلف سیگنال به نویز به سیگنال صحبت افزوده می شود و اثر آن بر دقت آشکار سازی در گیرنده مورد

۵- شبیه سازی و نتایج

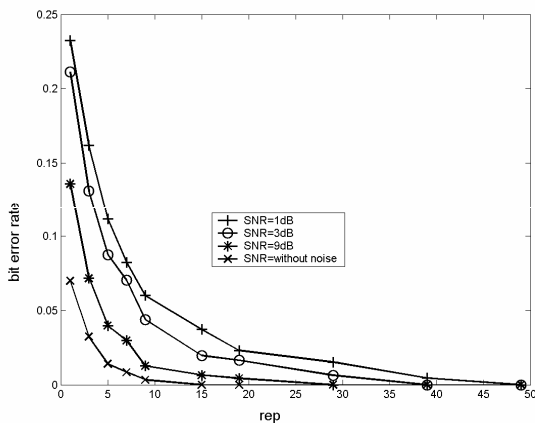
سیگنال صحبت با فرکانس ۸ kHz نمونه برداری شده و هر نمونه با ۱۶ بیت نمایش داده می شود. برای فریم بندی سیگنال صحبت از فریم هایی به طول ۲۰ ms (معادل ۱۶۰ نمونه) استفاده می گردد. برای تشخیص فریم های سکوت، میانگین قدر مطلق نمونه های فریم با سطح آستانه $T=200$ مقایسه می شود (مقدار این پارامتر برای فریم کاملاً "سکوت حدود ۸۰ می باشد که برای اطمینان، سطح آستانه ۲۰۰ در نظر گرفته شده است. البته این مقادیر به



شکل ۶: نمودار خطی بر حسب پارامتر rep.

شرایط تست، میکروفن و کارت صدای کامپیوتر وابسته می باشد. بعد از تعیین فریم های صحبت، از آنها تبدیل DFT گرفته و ۲۵۶ نقطه ای گرفته و داده های مورد نظر را با توجه با الگوریتم تشریح شده در بخش (۲) در ضرایب مربوطه جای می دهیم. برای انتخاب رشته های u_1 و u_2 از دو رشته تصادفی به طول ۵۰ استفاده شده است که فرستنده و گیرنده از آن مطلع هستند. مقدار پارامتر α با توجه به معیار شنیداری ۰,۱۵ در نظر گرفته شده است. برای رسیدن به خطای کمتر در آشکار سازی هر بیت داده در تعداد rep فریم پنهان می گردد (rep عددی فرد انتخاب می شود). در مرحله بعد با عکس DFT گرفتن، به سیگنال حوزه زمان باز می گردیم و با افزودن فریم های سکوت سیگنال صحبت کامل

نرخ بیت داده بر حسب 7 bps در جدول (۱) مشاهده می شود. در مرحله بعد، اثر افزایش نویز به سیگنال صحبت مورد بررسی قرار می گیرد. برای این منظور مطابق شکل (۵)، نویز سفید گوسی با نسبت های سیگنال به نویز 1 dB ، 3 dB و 9 dB به سیگنال افزوده می شود. طول فریم هایی که فرآیند پنهان سازی بر روی آنها صورت گرفته است، 360 نمونه می باشد. در نمودار شکل (۷) اثر افزایش نویز بر نرخ خطای آشکار سازی مشاهده می شود. همانطور که ملاحظه می گردد در نسبت سیگنال به نویز های پایین نیز می توان با افزایش پارامتر rep به دقت خوبی در آشکار سازی دست پیدا کرد. با توجه به آزمایش های انجام شده کیفیت شنیداری سیگنال صحبت بعد از پنهان سازی داده، از کیفیت خوبی برخوردار است و تفاوت چندانی با سیگنال اصلی ندارد.



شکل ۷: اثر نویز بر نرخ خطای آشکار سازی

۶- نتیجه گیری

در این مقاله روشی جدید برای پنهان سازی داده در سیگنال- صحبتی که فشرده سازی بر روی آن صورت می گیرد، معرفی شده است. از ویژگی های مهم این روش، مقاومت در مقابل فشرده سازی، کیفیت شنیداری خوب، آشکار سازی کور و امکان آشکار سازی در نسبت های سیگنال به نویز پایین می باشد. آشکار سازی کور این امکان را می دهد که گیرنده

بازیابی می شود. سپس عملیات فشرده سازی بر روی سیگنال صورت گرفته و حاصل برای گیرنده ارسال می شود. در گیرنده بعد از انجام عکس فشرده سازی و تشخیص فریم های صحبت، بیت های پنهان شده استخراج می شوند. چون هر بیت rep بار تکرار شده است با توجه به معیار حداکثر تکرار، بیت پنهان شده تخمین زده می شود. آزمایش برای 5 گوینده و با مقادیر مختلف rep تکرار شده است که نمودار میانگین خطا بر حسب پارامتر rep آن در شکل (۶) مشاهده می شود. برای بررسی اثر طول فریم بر روی خطا، آزمایش برای فریم هایی به طول 300 و 360 نمونه هم تکرار گردید. برای این کار از ضرایب 10 تا 109 (100 نمونه) DFT ، 512 نقطه ای استفاده شد. نتایج این آزمایش در شکل (۶) ترسیم شده است. همانطور که مشاهده می شود با افزایش طول فریم خطا کاهش می یابد و حتی می توان به خطای صفر هم

جدول ۱: نرخ بیت داده پنهان شده در بخش صحبت بر حسب bps .

طول فریم	۱۶۰	۳۰۰	۳۶۰
rep			
۱	۵۰	۲۶,۶۶	۲۲,۲۲
۳	۱۶۰,۶۶	۸,۸۸	۷,۴۰
۵	۱۰	۵,۳۳	۴,۴۴
۷	۷,۱۴	۳,۸۰	۳,۱۷
۹	۵,۵۵	۲,۹۶	۲,۴۶
۱۵	۳,۳۳	۱,۷۷	۱,۴۸
۱۹	۲,۶۳	۱,۴۰	۱,۱۶
۲۹	۱,۷۲	.۹۱	.۷۶
۳۹	۱,۲۸	.۶۸	.۵۶
۴۹	۱,۰۲	.۵۴	.۴۵

رسید. البته باید توجه داشت که در قبال نرخ پایین خطا به نرخ داده های کمتر بسنده شده است. از آنجایی که نرخ بیت در این نمودارها بر حسب پارامتر rep بیان شده است، مقدار

برای استخراج داده احتیاجی به سیگنال اصلی صحبت ندارد و این سیگنال می تواند هر عبارت دلخواهی باشد. از این ویژگی می توان در کاربردهای امنیتی استفاده کرد و یک داده را به صورت امن در خلال یک مکالمه برای طرف مورد نظر ارسال نمود. از آنجایی که در اغلب کاربردها، داده ای که به این صورت پنهان می شود، یک عبارت کوتاه و یا یک کلید رمز است، نرخ بیت یک پارامتر اساسی نمی باشد و می توان از این الگوریتم برای ارسال داده مورد نظر استفاده کرد. در ضمن می توان با بکار بردن دلخواه طول فریم صحبت، طول تبدیل DFT، ضرایب DFT و رشته چپ های گسترش-دهنده، به گونه ای که فرستنده و گیرنده از آن مطلع باشند، امنیت الگوریتم را بالا برد.

مراجع

- [1] Nedeljko Cvejic, "Algorithms For Audio Watermarking And Steganography" .*Thesis report*, Department of Electrical and Information Engineering ,Information Processing Laboratory, University of Oulu 2004.
- [2] رقیه دوست، حسن آقایی و حسین شمسی، ایجاد کیفیت ادراکی و مقاومت بسیار مطلوب نهان نگاری، در برابر فشرده سازی صحبت، سیزدهمین کنفرانس مهندسی برق ایران، بهار ۱۳۸۴.
- [3] A.Kondoz, *Digital Speech*, John Wiley & Sons, Inc., New York, 2004.
- [4] Paraskevi Bassia, Ioannis Pitas, Nikos Nikolaidis, "Robust audio watermarking in the time domain". *IEEE Transactions on Multimedia*, vol.3, p 232-241, June 2001.
- [5] Darko Kirovski, Henrique S. Malvar, "Spread-Spectrum watermarking of audio signals", *IEEE Transaction on Signal Processing*, vol.51, no.4, April 2003.
- [6] Chung-Ping Wu, C.-C. Jay Kuo, "Fragile speech watermarking for content integrity verification", *IEEE International Conference on Acoustics, Speech and Signal Processing*, May 2002.